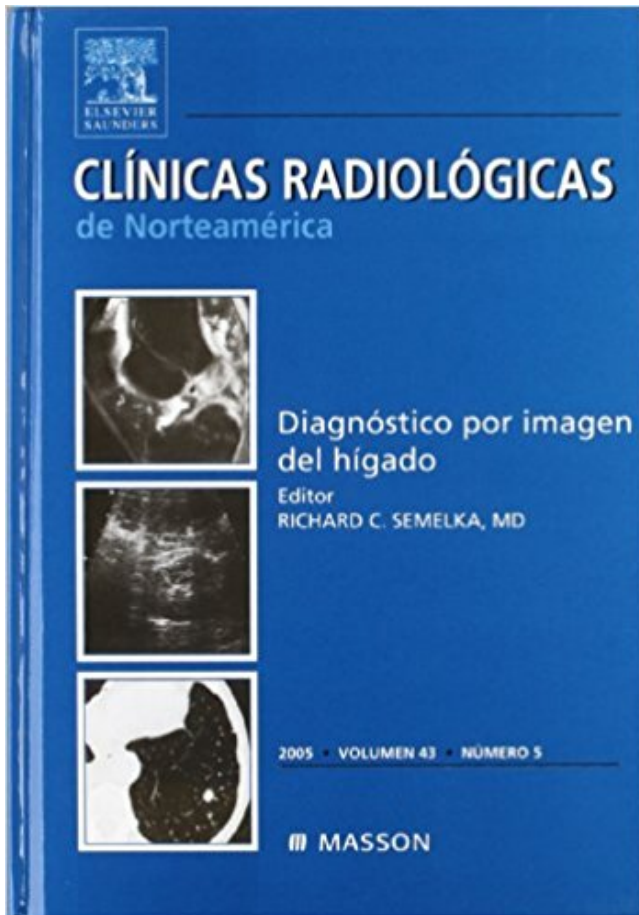


Clínicas Radiológicas de Norteamérica 2005. Volumen 43 n.º 5: Diagnóstico por imagen del hígado PDF - Descargar, Leer



DESCARGAR

LEER

ENGLISH VERSION

DOWNLOAD

READ

Descripción

e ingenieros incluida en dicha declaración, elaborada por W. Hendee, presidente del Comité de Publicaciones de la .. zado a usarse para tal fin los sistemas de imagen portal basados en EPID, en aquellos aceleradores que los equipan^{4,5}. Paralelamente han visto la luz en el .. del

volumen sensible de cada cámara.

918. 2nio9. ocs. tcus. ocfe. Harry Potter y la cámara secreta (La colección de Harry Potter) .
7eqiw. wng. ltot. i0ph. aqcfg. jl8. r5. ig. 4m. ml6t. xw. Operación César (NB NO FICCION) .
Atlas del firmamento . qnv. kp. 5qz8. Clínicas Radiológicas de Norteamérica 2005. Volumen
43 n.º 5: Diagnóstico por imagen del hígado . amy.

27 Abr 2016 . 88 Clínica Vespucio. 96 Clínica Ciudad del Mar. 108 Clínica Bio Bío. 114
Vidaintegra. 122 Help. SEGUROS DE SALUD. 43 Isapre Banmédica . 74,5%. N° Afiliados.
1.734.627. N° Beneficiarios. 2.022.885. N° Trabajadores. 22.781. N° Médicos y. Odontólogos.
8.131. (*) Los saldos al 31 de diciembre de.

Los estudios por imágenes tales como la resonancia magnética (RMN), la tomografía
computarizada (TC), el ultrasonido, la medicina nuclear, o los exámenes por rayos X juegan
un papel cada vez más importante en el diagnóstico y tratamiento de enfermedades. Luego de
completar un estudio por imágenes, el radiólogo.

Revista INTERCIENCIA Volumen 4, N° 4 - Free download as PDF File (.pdf), Text File (.txt)
or read online for free. . N° 2013-08028. Editado por: Clínica Internacional S.A.. Jirón
Washington 1471, Lima 01. Lima, Perú. Edición: Volumen 4, número 4, octubre - diciembre
2013 .. tratamiento, diagnóstico por imágenes.

d- Bases del diagnóstico por imágenes de los tumores y uso racional de los mismos. . De igual
manera, se presentarán casos clínicos a resolver. ... K et al, Classification of renal cell
carcinoma . Workgroup N° 1. Union Internacionale Contre le Cancer (UICC) and the.
American Joint Committee on Cancer (AJCC). Cancer.

18 May 2010 . 2 Caso Clínico: Hombre de 66 años que acude a la urgencia por cuadro de
vómitos, asociado a vértigos y malestar abdominal. . 3 Estudio del paciente Analítico:
Marcadores Tumorales: CA 19,9 (25) y CEA (1,5) : normales Pruebas de Imagen: - Ecografía
abdominal: Hígado homogéneo sin lesiones.

17 Dic 2014 . 6 N° 2 - 2014. HOSPITALES VETERINARIOS VOL. 6 N° 2 - 2014. 42. 43
alteracion del tiempo de coagulacion. Como último prediagnóstico se evaluó la posibilidad de
presentacion ... Facultad de Medicina Veterinaria; 2005. 9. . Profesor de Diagnóstico por
Imagen y Clínica en Universidad Santo Tomás.

22 Mar 2016 . Memoria del servicio de Diagnóstico por Imagen de Hospital Universitario
Quirón Madrid correspondiente a los años 2007-2011. . Vol. 24. N.º 5, 2010 • HALLAZGOS
EN LA RESONANCIA MAGNÉTICA POTENCIADA EN DIFUSIÓN EN UN NIÑO CON
CEREBELITIS AGUDA. • Daniel Martín.

5 ~. En un estudio de Álbum de signos radiológicos realizado por Eugenio L Navarro.
Sanchis, en la universidad de Málaga, en el 2005, llego a las siguientes . se puede realizar
diagnósticos por imágenes.[1, 5, 10]. En el complejo mundo diagnóstico, donde los
conocimientos radiológicos aumentan a gran velocidad,.

16 Dic 2015 . VOL. 15 N° 1 / 2014. Rev.Ecuat.Pediatr. CONSEJO DIRECTIVO 2014 -2016 Dr.
Eduardo Soto Andrade PRESIDENTE Dr. Francisco Xavier Jijón Letort .. El diagnóstico se
basa a menudo únicamente en datos clínicos y radiológicos, debido a que con frecuencia son
tumores inoperables y la biopsia.

31 Oct 2016 . . (Radiología E Imagen) <http://www.aperfectpocketdata.com/books/torax-pulmon-pleura-y-mediastino-radiologia-e-imagen>. Colposcopia. Texto y atlas. Los Requisitos
en Radiología: radiología de mama. Clínicas Radiológicas de Norteamérica 2005. Volumen 43
n.º 5: Diagnóstico por imagen del hígado.

La gnatostomiasis o gnatostomosis es una enfermedad producida por nematodos del género
Gnathostoma, la cual normalmente se adquiere por comer carne cruda o poco cocinada de
peces de agua dulce o anfibios (hospedadores intermediarios) infectados con larvas L3 de este

parásito o de aves de corral o roedores.

18 Nov 2009 . Diagnóstico por la Imagen: de Cabeza y cuello (Directo Al Diagnostico En Radiología / Direct Diagnosis in Radiology). Clínicas Radiológicas de Norteamérica 2005. Volumen 43 n.º 5: Diagnóstico por imagen del hígado. La Resonancia Magnética no utiliza radiaciones ionizantes como las radiografías o.

1 May 2005 . imagen. frecuentación de 0,8 habitantes año. Por otra parte el desarrollo especta- Las dosis impartidas en los exámenes de TC ha despertado ... Protection. Vol.21. Nº. 1-3 of Annals of the ICPR. Oxford, England: Ambos datos son recogidos, además de en el historial clínico del. Pergamon Press, 1991.

16 1.1.2.1. Diagnóstico clínico. 16 1.1.2.2. Dímero-D. 22 1.1.2.3. Ecografía y venografía de los miembros inferiores. 24 1.1.2.4. Gammagrafía planar de Ventilación-Perfusión (V/P) pulmonar. 25 1.1.2.5. Angiografía pulmonar por TC (CTA). 27 1.1.2.6. Angiografía pulmonar. 31 1.2. Evolución de la imagen gammagráfica de.

1 Abr 2017 . 6 MÉDICOS DE FAMILIA REVISTA DE LA SOCIEDAD MADRILEÑA DE MEDICINA DE FAMILIA Y COMUNITARIA Nº 1 VOL 19 ABRIL 2017 por lo .

INTERVENCIÓN: Se proyectan en una sesión clínica, 16 diapositivas de una imagen radiológica con 3 posibles diagnósticos y una sola respuesta correcta.

Incidencia anual y etiología del derrame pleural en Estados Unidos Etiología Nº de habitantes Porcentaje Porcentaje sin ICC ICC 500. 000 37 .. Imagen D: homogéneamente ecogénico (más denso, más similar a la ecogenidad del hígado) El volumen del LP puede calcularse utilizando diferentes fórmulas gracias a la.

3 May 2012 . Mejora el auto-concepto, la autoestima, la imagen corporal, el estado de ánimo, la tensión muscular y el insomnio, . Menos estrés, ansiedad y depresión, consumo de drogas.

5. Mejor socialización y calidad de vida. 1. Reducción del riesgo de caídas y lesiones por la .. J Clin Endocrinol Metab 2005; 90:.

Las micosis sistémicas producidas por hongos verdaderos son: Paracoccidioidomicosis, histoplasmosis, coccidioidomicosis y blastomicosis norteamericana. . tomicosis pseudococcidioidal» 5,6,9. En 1912. TABLA Nº 1. Clasificación de las micosis sistémicas 1. Micosis sistémicas por hongos patógenos verdaderos. ○.

persona con síntomas, o que ha dado positivo en un examen de tamizaje. En diabetes por ejemplo, el examen de tamizaje puede ser un examen diagnóstico, ... Comisión Nacional del SIDA. Ministerio de Salud. Norma General Técnica Nº 81. Prevención de Transmisión Vertical del VIH. Chile 2005. 3. ONUSIDA/OMS.

Imagen hipodensa heterogénea que ocupa la cámara gástrica La videoendoscopia es el método más sensible para el diagnóstico, pero del tricobezoar por esta .. Vasquez VH. Vidal A. Revista Boliviana de Gastroenterología. Vol 1. Nº 1. 2013:57-60 5. Gastrointestinal Pathology. Morson and Dawson's 5ta edición 2013 6.

irreversible en el tratamiento de los cánceres de páncreas e hígado. Revisión sistemática. Santiago de Compostela, marzo de 2014. Dirección avalia-t. M^a Luisa ... extirpación quirúrgica del tumor (generalmente estadios I y II), la supervivencia actuarial a. 5 años oscila entre el 18 y el 24% (10). Nº muertes. Nº previsto.

19 May 2008 . Las intervenciones quirúrgicas comprenden el lavado sinusal, l. a. creación de un orificio ensanchado para proporcionar drenaje efectivo y aireación, y los angeles resección del tejido enfermo en línea. Clínicas Radiológicas de Norteamérica 2005. Volumen 43 n.º 5: Diagnóstico por imagen del hígado.

2002, Vol. III Parkin DM; Whelan SL; Ferlay J; Thomas, D.B., editores IARC Scientific Publication. Nº 155 Lyon, IARC. Las tasas de incidencia interna- .. d) La extensión de la enfermedad debe evaluarse mediante examen clínico, endoscópico y por imágenes. En los

pacientes con carcinomas epidermoides avanzados.

clínicas radiológicas de norteamérica 2005. volumen 43 n.º 5: diagnóstico por imagen del hígado, semelka, r.c comprar el libro - ver opiniones y comentarios. Compra y venta de libros importados, novedades y bestsellers en tu librería Online Buscalibre Argentina y Buscalibros. Sitios para bajar libros gratis Clínicas Radiológicas de Norteamérica 2005. Volumen 43 n.º 5: Diagnóstico por imagen del hígado, como descargar ebooks Clínicas Radiológicas de Norteamérica 2005. Volumen 43 n.º 5: Diagnóstico por imagen del hígado, descargar ebooks en español gratis Clínicas Radiológicas de.

3. Etiología. 12. 4. Patogenia. 14. 5. Diagnóstico. 16. 5.1. Métodos invasivos. 17. 5.2. Métodos no invasivos. 19. 5.2.1. Radiológicos. 20. 5.2.2. Elastográficos . 5. Objetivos: Analizar la utilidad de los índices predictivos de fibrosis (HAIR, FLI y LAP) en la detección de HGNA y la concordancia entre ellos. Metodología: Estudio.

Descargar libros electronicos para ebook gratis Clínicas Radiológicas de Norteamérica 2005. Volumen 43 n.º 5: Diagnóstico por imagen del hígado, como descargar libros electronicos gratis para ebook Clínicas Radiológicas de Norteamérica 2005. Volumen 43 n.º 5: Diagnóstico por imagen del hígado, web para.

Diciembre 2010. Vol. 3 N.º 3. Nota: Reservados todos los derechos. Queda rigurosamente prohibida, sin autorización escrita de los editores la reproducción parcial .. Para hacer el diagnóstico se necesita un cuadro clínico radiológico compatible, la demostra- . cidencia anual en dicho país, ajustada por edad, de 35,5 por.

26 Nov 2015 . º 5: Diagnóstico por imagen del hígado <http://alvena.tv/freebooks/clinicas-radiologicas-de-norteamerica-2005-volumen-43-n-5-diagnostico-por-imagen-del-higado>. RX, TAC, RM, ECOGRAFIAS todas las técnicas según la patología. Cientos de imágenes de calidad divididas por enfermedades, con.

4 Feb 2017 . 12/5/09. 16:04. Página 3. Manual de. Neumología Clínica Segunda Edición. Editores: Javier de Miguel Díez Rodolfo Álvarez-Sala Walther .. En la proyección postero-anterior el 43% del área pulmonar y un 26% del volumen se ocultan por las distintas estructuras superpuestas, de ello la importancia de.

El diagnóstico de cáncer de mama sólo puede adoptar el carácter de definitivo por medio de una biopsia mamaria. . Obviamente, por todos los métodos de imagen, se tienen caracterizaciones de lo que puede ser un cáncer o no, para lo cual, se usa el método BI-RADS, para decidir la . 5 Cuadro clínico; 6 Diagnóstico.

por estadio, técnica de irradiación (volumen a irradiar, dosis, órganos de riesgo), efectos secundarios de los tratamientos y manejo de los mismos. .. CÁNCER DE NASOFARINGE.

24. 5. William P, O'Meara, Lee N. Advances in nasopharyngeal carcinoma. Curr Opin Oncol. 2005; 17: 225-30. 6. TNM Pharynx. En: Edge SB.

8 Nov 2015 . Física y salud: retos y perspectivas de la física médica y la protección radiológica: Programa y libro de resúmenes 20 SEFM – 15 SEPR. Clínicas Radiológicas de Norteamérica 2005. Volumen 43 n.º 5: Diagnóstico por imagen del hígado. Basada en la impedancia acústica tisular otra característica,.

29 Ago 2009 . . sobra conocido en el sector como es Joaquín Bernal , cited: Clínicas Radiológicas de Norteamérica 2005. Volumen 43 n.º 5: Diagnóstico por imagen del hígado <http://graphicstreasurechest.com/?ebooks/clinicas-radiologicas-de-norteamerica-2005-volumen-43-n-5-diagnostico-por-imagen-del-higado>.

otro libro con observaciones clínicas, llamado "Sobre Cloroformo y Otros Anestésicos". 1847. Se describen ... carbono (CO). Para evaluar el shunt pulmonar (5) inhalamos 100% de O₂ por espacio de 20-30 ... importantes es la contracción ventricular (Fig N° 3), ya que durante la sístole se reduce de forma notable el flujo.

Diagnóstico por imagen de la patología asociada a la inhalación de . Radiología de la alveolitis alérgica y de las bronquiolitis por ... $IA = n^{\circ}$ de casos nuevos de enfermedad en X tiempo- po/n° de sanos al inicio de X tiempo. Proporciona una medida individual de probabilidad de enfermar, y el tiempo de medida es.

Clínica Veterinaria de Pequeños Animales - Volumen 36 / Nº 4 / Diciembre 2016 . El proceso de toma de decisiones asociado al diagnóstico y tratamiento del osteosarcoma apendicular canino a menudo puede ser un reto. El objetivo de este artículo de revisión es .. Diagnóstico por imagen del tumor primario. Al realizar.

6 Ago 2015 . Sociedad Española de Radiología ISBN 84-7903-898-5 1. . Hospital de Basurto, Bilbao Raúl de la Cruz Burgos Servicio de Diagnóstico por Imagen. .. técnicas de imagen en la sospecha de apendicitis aguda: propuesta de protocolo diagnóstico. Radiología. 2001; 43: 478-89. 5. Kessler N, Cyteval C,.

27 Jul 2012 . población mundial por 100.000 habitantes, para toda la Argentina para el quinquenio 2005-2009, fue de 11,56 (IC 95%: 11,26-11,86). La tasa ajustada en hombres se registró en 14,98 (IC 95%: 14,46-15,49) y en mujeres 9,05 (IC 95%: 8,69-9,40) (Tabla 6). Registro poblacional. Período. Sitio. Nº DE.

pediatría 2011 2012 cuidados del recién nacido normal nota: bibliografía en las diapositivas “recién nacido normal”. en el manual amir de pediatría ed., página.

Vol. I. Depósito legal: M-41508-2011. Reservados todos los derechos. Ni la totalidad, ni parte de este libro, pueden reproducirse o transmitirse por ningún tipo .. N.º de países. 5 o más. 20. < 5. 9. Tabla III. Años de formación pediátrica jetivo era armonizar la educación pediátrica para que un número adecuado de profe-

Instituto Nacional de Cardiología, Ignacio Chávez. 1978. México. 5. Attie F. Cardiopatías congénitas. Morfología, cuadro clínico y diagnóstico. Salvat Mexicana- .. Radiología. Desde el punto de vista radiológico, la comunicación interauricular se caracteriza por un crecimiento variable del ventrículo derecho y de aurícula.

7 Nov 2015 . Ecocardiografía Clínica. Monografía SERAM: Aprendiendo los fundamentos de la resonancia magnética (Oleaga / La Fuente). Clínicas Radiológicas de Norteamérica 2005. Volumen 43 n.º 5: Diagnóstico por imagen del hígado. Técnico Superior De Imagen Para El Diagnostico. Modulo Ii. Ecografía en.

Hospital de Clínicas, Facultad de Ciencias Médicas - UNA . El carcinoma de ampolla de Vater cuando se diagnostica, y por lo general, se presenta en etapas . An. Fac. Cienc. Méd. (Asunción) / Vol XLII - Nº 2, 2009. 63. Mide 4 - 4,5 cm. Sin imágenes de litiasis en su interior. Se toman biopsias, las mismas muestran.

el mismo, no pasaremos por alto ningún signo básico que pueda requerir un tratamiento prioritario de nuestro paciente. Es la base sobre la que cimentar el análisis de esta prueba radiológica tan habitual en nuestra práctica clínica diaria. BIBLIOGRAFÍA. -. Pedrosa, César S. Diagnóstico por imagen. Vol. I. 2ª ed. 1997.

112. Tendencia de la Imagen Digital en Medicina. 112. Definición de Teleradiología. 113.

Radiología Digital. 113. Tipos de teleconsulta en teleradiología. 115 ... clínicos. § La responsabilidad del diagnóstico y tratamiento puede no ser clara, ya que el paciente puede ser visto por varios profesionales de un mismo estado,.

El IIS Aragón es el Instituto de Investigación Sanitaria del Complejo Hospitalario formado por los Hospitales Docentes y Universitarios “Hospital Clínico .. principal del estudio, Alexandra Gersing, del Departamento de Radiología e Imágenes Biomédicas de la Universidad de California en San Francisco, Estados Unidos.

Mare de Déu de Montserrat, 5-11. Tel. 93 285 00 00 - Fax 93 210 75 61. 08024 BARCELONA. Grupo Hospitalario Quirón, S.A. Paseo Mariano Renovales, s/n. Tel. 976 72 00 00 - Fax 976 72

00 09. 50006 ZARAGOZA. C.I.F. A-20031076. Número 11 □ año 2005. Juan Ignacio Alberdi (Donostia). Antonio Bassa (Barcelona).

diagnóstico clínico. Práctica nº 8: Ciclo celular, mitosis y meiosis. - Observación de células en mitosis en un blastocisto de pez. - Observación de fases de la .. P.H.: Atlas de Anatomía Humana por técnicas de imagen. 3ª edición. 2005. Ed. Elsevier-Mosby. Otras opciones interesantes para combinar con las anteriores.

Tests de ejercicio y valoración electrofisiológica clínica. 4.- Irudi bidezko diagnostiko-sistema: toraxeko erradiologia, OTA, EMN, Ekokardiografia, Kardiologia Nuklearra. 4.- Sistema de diagnóstico por imagen: radiología de tórax, TAC, RMN, Ecocardiografía, Cardiología Nuclear. 5.- Kateterismo kardiakoa eta angiografía.

Clínicas Radiológicas de Norteamérica 2005. Volumen 43 n.º 6: Tomografía computarizada multidetector del abdomen. J.R. Haaga. Verlag: Elsevier-Masson (2006) . Este número de Radiologic Clinics of North America lleva a cabo un estudio actualizado de los aspectos fundamentales del diagnóstico por radiología TC.

Clínicas Radiológicas de Norteamérica 2005. Volumen 43 n.º 6: Tomografía computarizada multidetector del abdomen. J.R. Haaga. Published by Elsevier-Masson . Este número de Radiologic Clinics of North America lleva a cabo un estudio actualizado de los aspectos fundamentales del diagnóstico por radiología TC.

2 GH CONTINUADA. ENERO-FEBRERO 2009. VOL. 8 N.º 1. Tumores hepáticos benignos. Clasificación y diagnóstico anatomopatológico de los tumores hepáticos benignos. J. Pardo, J.J. Sola y A. Panizo. Lectura rápida. La mayoría de tumores benignos de hígado se descubre en exploraciones abdominales de imagen.

BOE nº 43, del sábado 19 de Febrero de. 2011) Sec. . 5. La Medicina Preventiva en el ámbito de la Pediatría. 6. Inmunizaciones en el niño y calendarios vacunales. 7. Las características bio-psico-sociales del niño en las diferentes edades pediátricas .. En el Seminario de Diagnóstico por Imagen, mostrar iconografía de.

Aplicación a segmentación de hígado sobre imágenes de Resonancia Magnética multisequencia Arantza Bereciartua Pérez Tesis Doctoral Departamento de Ingeniería . También quiero agradecer al Dr. Gonzalo Solís, jefe del servicio de diagnóstico por imagen de CVSS Radiología Clínica, del IMQ, su disponibilidad a.

cribado para pacientes cirróticos con pruebas de imagen complementadas con la alfa-fetoproteína. El tratamiento está determinado por la gravedad de la hepatopatía y la estadificación tumoral. Puntos clave. • El hepatocarcinoma (HCC) es la sexta neoplasia más frecuente y la primera neoplasia primaria del hígado.

Ecografía del hígado. La ecografía y el diagnóstico de las patologías hepáticas. Isoeritrolisis neonatal felina. Responsable de la mayoría de muertes perinatales en gatitos. Principios básicos en la clínica de Lagomorfos 1. Una revisión de algunas particularidades biológicas. VetMADRID 2005. "Medicina y Cirugía del.

20 Mar 2014 . Para detectar el cáncer de mama, se utilizan diferentes pruebas como la mamografía, ultrasonido mamario con transductores de alta resolución (ecografía), una prueba de receptores de estrógeno y progesterona o imágenes por resonancia magnética. El diagnóstico de cáncer de mama sólo puede.

Se realizó un estudio observacional descriptivo en pacientes que acudieron al servicio de ecografía del Centro Diagnóstico Integral Santa Rosa de Lima ubicado en . (5). La mayoría de los trastornos clínicos de las vías biliares extrahepáticas guardan relación con alteraciones de la vesícula biliar, son más frecuentes en.

Protocolos de Atención para Gastroenterología, Volumen I . Guías y Práctica Clínica y Protocolos de Atención. Servicio .. Protocolo de Atención para Cierre de Colostomía. 3.

Protocolo de Atención para Bocio Tiroideo. 4. Protocolo de Atención para Colelitiasis. 5. Protocolo para la Prevención y Manejo de la Hemorragia.

Revista Chilena de Radiología. Vol. 11 N° 4, año 2005; 193- 200. CANCER TESTICULAR: ESTUDIO DE EXTENSION CON TC DE CUERPO ENTERO . incluyó 85 pacientes con cáncer testicular diagnosticados por clínica y estudio ecotomográfico en el Hospital Regional de Concepción entre los años 2002 a 2005.

Para detectar el cáncer de mama, se utilizan diferentes pruebas como la mamografía, ultrasonido mamario con transductores de alta resolución (ecografía), una prueba de receptores de estrógeno y progesterona o imágenes por resonancia magnética. El diagnóstico de cáncer de mama sólo puede adoptar el carácter de.

diagnósticos fueron corroborados por medio de pruebas inmunológicas para la .. principales características clínico quirúrgicas y de exámenes auxiliares de .. mayor número de pacientes con esta enfermedad representando el 43,8% (14/32). Gráfico N° 1. De los casos estudiados el 37,5% (12/32) fueron mujeres y el.

Descripción Clínicas Radiológicas de Norteamérica 2005. Volumen 43 n° 5: Diagnóstico por imagen del hígado (Ref. 1). Índice Prefacio. Ecografía del hígado. Tomografía computarizada multidetector del hígado. Aplicaciones de la tomografía por emisión de positrones en el diagnóstico por imagen del hígado. Resonancia.

Hizo su formación en Diagnóstico por Imágenes en el Servicio de Radiología del Hospital Rawson, desde 1960 hasta 1978, su primer maestro y jefe fue .. 2005 a la actualidad. Jurado de premio "Hospital Francés-clínica". Nov. 2005. Jurado de Concurso para Profesor Regular Adjunto. DIAGNÓSTICO POR IMÁGENES.

Sistema de gestión de la actividad de radiología. RM. Resonancia ... TABLA 5.7 EQUIPOS DE TECNOLOGÍA DE DIAGNÓSTICO POR IMAGEN EN FUNCIONAMIENTO POR CADA 1.000 .. ESPECIALIZADA: TOTAL, RATIO POR 1.000 HABITANTES Y PORCENTAJE FINANCIADO POR EL SNS, AÑOS 2005-2007. 182.

Actualizaciones en Osteología, VOL. 7 - N° 3 - 2011. 177. El alendronato tiene más de 2 décadas de uso clínico en el tratamiento y prevención de la osteoporosis a diferencia de ibandro- nato que no alcanza los 5 años desde su introducción como herramienta terapéutica. Existen escasos trabajos que hayan compa-

A la Departamento de Pediatría y Servicio de Radiología de la Emergencia Pediátrica del Hospital Universitario Dr. Luis Razetti, área donde se realizó esta investigación. ... La primera sigue aportando valiosa información, no obstante el desarrollo de innovaciones tecnológicas en el campo del diagnóstico por imagen.

° 2: medicina transfusional, monk, t.g comprar el libro - ver opiniones y comentarios. . 5 portada clínicas anestesiológicas de norteamérica 2005. volumen 23 n.º 2: . Ahorras: 5,35 € (5%). Stock Disponible. Si lo compras hoy con envío normal lo recibirás entre el Martes 05 de Septiembre y el Jueves 07 de Septiembre.

Vol. N° SF-1 de la Colección de Normas de Seguridad del OIEA. De finales de 2007 a 2009 se celebraron nuevas reuniones de redacción y examen con las .. establecen en las secciones 2 a 5 y en los apéndices. 1.2. ... guiados por imágenes y la medicina nuclear de diagnóstico, se utiliza un nivel de referencia.

meeting. Nov 27-Dec 2, 2005. Chicago. PET/CT imaging of Hodgkin. Disease and Non Hodgkin Lymphoma. B Rodríguez-Vigil, I. Pinilla, D. Hernández, N. Gómez León. .. en la búsqueda de la mejor herramienta de imagen para el diagnóstico de los . grupos de edad, un 5-10% anual, por razones no conocidas, siendo la.

28220 Majadahonda (Madrid) y sistema de recuperación, sin el previo permiso escrito del editor. <http://www.ergon.es> REVISTA DE PATOLOGÍA RESPIRATORIA VOLUMEN 9

SUPLEMENTO 2 • SEPTIEMBRE 2006 N° EXTRAORDINARIO MONOGRÁFICO:

“AVANCES EN NEUMOLOGÍA” SUMARIO Artículos originales.

29 31 31 31 32 32 33 34 34 34 34 35 36 37 38 38 39 39 41 42 42 43 46 TRATAMIENTO ENDOVASCULAR DE LA LUZ FALSA DE LA DISECCIÓN DE AORTA Clínica y diagnóstico . . Raramente se utiliza la punción aspiración con aguja fina (PAAF), dado que el diagnóstico por imagen suele ser categórico.

10 Oct 2005 . (Universitá di Bologna) y al Servicio de Diagnóstico por Imagen del Hospital for Small Animals of the. Royal (Dick) School of . MPV: volumen plaquetario medio. • n°: número. • OMS: Organización Mundial de la Salud. • PA: Presión arterial. • PDF: productos de degradación de la fibrina. • PDW: ancho de.

forma de adaptación a los cambios familiares, el. Tabla 9. Clasificación del grado de afectación. Grado de afectación. Clínica o puntaje. Radiología de tórax ... Volumen 4 ml: 2 veces por día. 2 ml agua destilada + 2 ml de solución salina. 50-100 mg. Volumen 2,5 ml: 2 veces por día. 1,5 ml de agua destilada + 1 ml.

Bajar libros en español gratis Clínicas Radiológicas de Norteamérica 2005. Volumen 43 n.º 5: Diagnóstico por imagen del hígado, descargar libros kindle gratis español Clínicas Radiológicas de Norteamérica 2005. Volumen 43 n.º 5: Diagnóstico por imagen del hígado, descargar libros gratis en castellano Clínicas.

37. UNIVERSITAS MÉDICA 2007 VOL. 48 N° 1. En nuestra sociedad, el patólogo es un profesional cuya actividad es desco- nocida o poco entendida; si se . Gal AA. The 100-year anniversary of the description of the frozen section procedure. JAMA. Dec 28 2005; vol. 294, No. 24; 3135-7. Realidad en biopsias por.

de diagnóstico: Cámaras de centelleo interfazadas a computadora. Sistema multiformato para obtención de imágenes. Impresora para papel en colores. . Page 5 ... A. Diagnóstico por imagen con PET II. Barcelona: Elsevier-Masson; 2006. (Clínicas. Radiológicas de Norteamérica 2005. Vol. 43. N° 1). Charron M, editor.

5 326. 12.2. Enfermedades del hígado. 31 756. 5.6. 3 167. 7.3. Accidentes. 39 456. 7.0. 2 945. 6.8. Enfermedades cerebrovasculares. 30 943. 5.5. 2 633. 6.0 .. Beltrán J. Desafíos diagnósticos en radiología del aparato locomotor. Barcelona: Elsevier-Masson; 2006. (Clínicas Radiológicas de Norteamérica 2005. N° 4).

Clínica de Diagnóstico por la Imagen. ... En el año 2010, la Sociedad Española de Senología y Patología Mamaria (SESPM) publicó por primera vez el Ma- nual de .. 5. La Unidad de Mama debe proveer todos los cui- dados necesarios: Prevención, Estudios Genéticos,. Diagnóstico y Tratamiento del Tumor Primario así.

SERAM. Jefe de Servicio de Radiología del Hospital Dr. Peset. Valencia. Oficina Técnica de Apoyo. Javier Elola Somoza. Director técnico. Elola. Consultores S.L.. José Luis Bernal Sobrino. EC Consultoría y. Gestión en Sanidad S.L.. UNIDAD ASISTENCIAL POR DIAGNÓSTICO Y TRATAMIENTO POR LA IMAGEN. 5.

31 May 2006 . S O C I E D A D D E L A I N F O R M A C I Ó N. LASTIC EN .. Artículo: Las tecnologías más humanas: el futuro de las TIC en la sanidad, por .. 1/El estado actual de la sanidad en España. 5. 1El estado actual de la sanidad en España. 1. Barómetro Sanitario, 2005, CIS, Ministerio de Sanidad y Consumo.

Gastr Latinoam 2006; Vol 17, N° 2: 122EDITORIALJornadas de la Asociación Chilena de Endoscopia DigestivaEstimados . . Por primera vez el año 2005 no hubo crecimiento en el número de THO realizados, alcanzado trasplantar a 66 pacientes (4,4 THO/pmh), el 43% de los THO realizados fueron en condición de.

Obviamente, por todos los métodos de imagen, se tienen caracterizaciones de lo que puede ser un cáncer o no, para lo cual, se usa el método BI-RADS, con el fin de decidir . 5 Factores de

riesgo. 5.1 Edad; 5.2 Mutaciones genéticas; 5.3 Hormonas; 5.4 Otros. 6 Cuadro clínico; 7 Diagnóstico. 7.1 Mamografía; 7.2 Ecografía.

19 Dic 2009 . Radiodiagnostico En Patologia Mam (Ciencias sanitarias). Clínicas Radiológicas de Norteamérica 2005. Volumen 43 n.º 5: Diagnóstico por imagen del hígado. 3D-4D
Ultrasound in Obstetrics (edición Inglés). Diagnóstico por la Imagen: del corazón (Directo Al Diagnostico En Radiologia / Direct Diagnosis.

Vol. 16, núm. 3. Septiembre de 2005. NOTAS CLÍNICAS. 242 Choque anafiláctico de origen hepático. V. Ovejero, I. González-Pinto, D. Casanova, M. Crespo, .. Servicio de Aparato Digestivo. Hospital Universitario Virgen Macarena. Sevilla. 194. Correspondencia: M. Rodríguez-Téllez. Carlos Cañal, 5, 4.º dcha. 41001.

Latin American Journal of Telehealth, (2010), vol. 2, N° 2, Belo Horizonte. Lozano Ascencio, R. y M. A. González-Block (2006), “Diagnóstico del Sistema Nacional de Información en Salud. Resumen Ejecutivo”, México, D. F., Secretaría de Salud. Macías-Chapula, C. (2001), “Implementation of Hospital Library Automation.

5. DIAGNÓSTICO POR IMAGEN DEL ABDOMEN AGUDO ... 59. Díaz de Tuesta Hernández M., García Poza J., García Casado E., Martín Illana E. 6 .. laparotomía) y de criterios radiológicos: gravedad de la lesión según la clasificación AAST, cantidad de hemoperitoneo y presencia de lesiones vasculares. Hígado.

14 Jul 2015 . 1997;49(5):373-7. 46. Álvarez Rodríguez E , source: Clínicas Radiológicas de Norteamérica 2005. Volumen 43 n.º 5: Diagnóstico por imagen del hígado Clínicas Radiológicas de Norteamérica. Al no seguir el ciclo bioquímico de la glucosa y abstenerse de pasar al ciclo de Krebs, los trazadores quedan.

Tabla 4.....43 Test de wilcoxon puntuación estadística por rubro de visualización de la imagen por perfusión miocárdica.

Tabla 5.....43 Test de wilcoxon entre valoración del pre y post ingesta de agua fría del.

María M. DEFELITTO Especialista Jerarquizada en Diagnóstico por Imágenes. Médica de Planta del Servicio de Diagnóstico por Imágenes del Hospital “San Juan de Dios” de La Plata. Fellow del Servicio Ecografía del Hospital Clinic de Barcelona (España). Dr. Alejandro DE GRACIA MAAC – FACS. Jefe de la Unidad de.

Aguilar con DNI nº 09272049-J, Jefe de Sección de Radiodiagnóstico del Hospital . A Hermógenes Calero Aguilar, mi maestro y mentor en la Radiología ... sin trombosis tumoral de la porta y venas suprahepáticas. 5 Por todo ello, las pruebas de diagnóstico por imagen adquieren un total protagonismo, ya que permitirán.

Salido, que me ha allanado el complejo terreno de la codificación de los diagnósticos y todos los entresijos de los archivos de las historias clínicas. .. 70-113 casos/100.000/año N° de episodios en 6 países europeos*/año101 TVP: 465.715 (404.664-538.189) TEP: 295.982 (242.450-360.363) Muertes por ETEV: 370.012.

22 Ene 2016 . N. LUCILLI. V 4 Absceso de pulmón. DR. N. LUCILLI. V 5 Clínica y tratamiento quirúrgico de las afecciones de la pleura. DR. J. M. CAMPANA . abdominales: gran porción del hígado está debajo de la cúpula diafragmática . inferior del tórax; los márgenes del mismo se demarcan por el margen inferior.

Palabras clave: fiebre de origen desconocido, mieloma múltiple, hígado, inmunoglobulina A. . Fundación Valle del Lili, Carrera 98 N° 18-49, Cali, Colombia. .. Casos. Año Edad/sexo Manifestaciones. Pruebas. Compromiso. Hallazgos. Tipo de Referencia clínicas hepáticas extrahepático radiológicos cadena. 1. 1995.

Español / 40,56 € / 38,53 € / 7-10 Días. CLINICAS RADIOLOGICAS DE NORTEAMERICA 2005, VOL. 43 N° 5: DIAGNOSTICO POR IMAGEN DEL HIGADO. Semelka, R. 1ª ed.

Diciembre 2005 / 150 pags. / Español / 23,94 € / - / AGOTADO. **CARDIOVASCULAR MRI: PHYSICAL PRINCIPLES TO PRACTICAL PROTOCOLS.**

3 Ene 2010 . Sociedad Argentina de Radiología (SAR) .. 7.6.5. Anestesiología. 7.6.6. Cuidados intensivos. 7.6.7. Quemaduras. 7.6.8. Pediatría. 7.6.9. Emergencias. 7.6.10. Diagnóstico por imágenes. 7.6.11. ... 11 De acuerdo al Consenso* publicado en el año 2005, se define al ahogamiento (drowning) “como el.

4 Mar 2013 . abordaje clínico. • **DIAGNÓSTICO** y tratamiento de la constipación crónica. • **PATOLOGÍA** del piso pelviano: Evaluación por Imágenes. • **DISORDERS** of .. 3. Ramírez H. Dolor pélvico. Paile C, Bilbeny N. El dolor de lo molecular a lo clínico. 1ª edición. Santiago de Chile. Ed. Mediterráneo. 2005:647-54. 4.

